

Entrée et sortie: Système Télévision Lumicie sRGB (TLS00a)

Données de couleurs périphériques (d)
ou élémentaires (e):

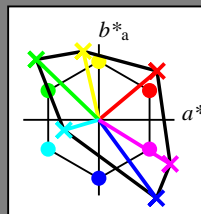
HIC^*

code de teinte pour les cou-
leurs de cette page:

$H^*_ = R00Y_ , R25Y_ , ..., B75R_$

ORS20a; données CIELAB (a) adaptées

$H^*_$	$L^*=L^*_a a^*_a$	b^*_a	$C^*_{ab,a}$	$h^*_{ab,a}$
R00Y_100_100_	48.4	66.1	40.2	77.3
R25Y_100_100_	56.8	48.0	50.5	69.6
R50Y_100_100_	68.6	25.0	63.9	68.6
R75Y_100_100_	80.6	4.8	77.2	77.3
Y00G_100_100_	90.2	-9.6	88.2	88.7
Y25G_100_100_	83.2	-18.4	79.9	81.9
Y50G_100_100_	73.3	-31.7	62.7	70.2
Y75G_100_100_	62.0	-49.7	43.2	65.8
G00B_100_100_	55.8	-65.2	33.8	73.4
G25B_100_100_	59.3	-50.3	-9.0	51.0
G50B_100_100_	63.0	-30.5	-42.0	51.9
G75B_100_100_	45.7	-5.7	-44.6	44.9
B00R_100_100_	27.5	25.9	-47.3	53.9
B25R_100_100_	38.3	52.6	-28.5	59.8
B50R_100_100_	49.5	73.5	-9.0	74.0
B75R_100_100_	48.9	69.3	12.9	70.4



%Gamme

$u^*_{rel} = 158$

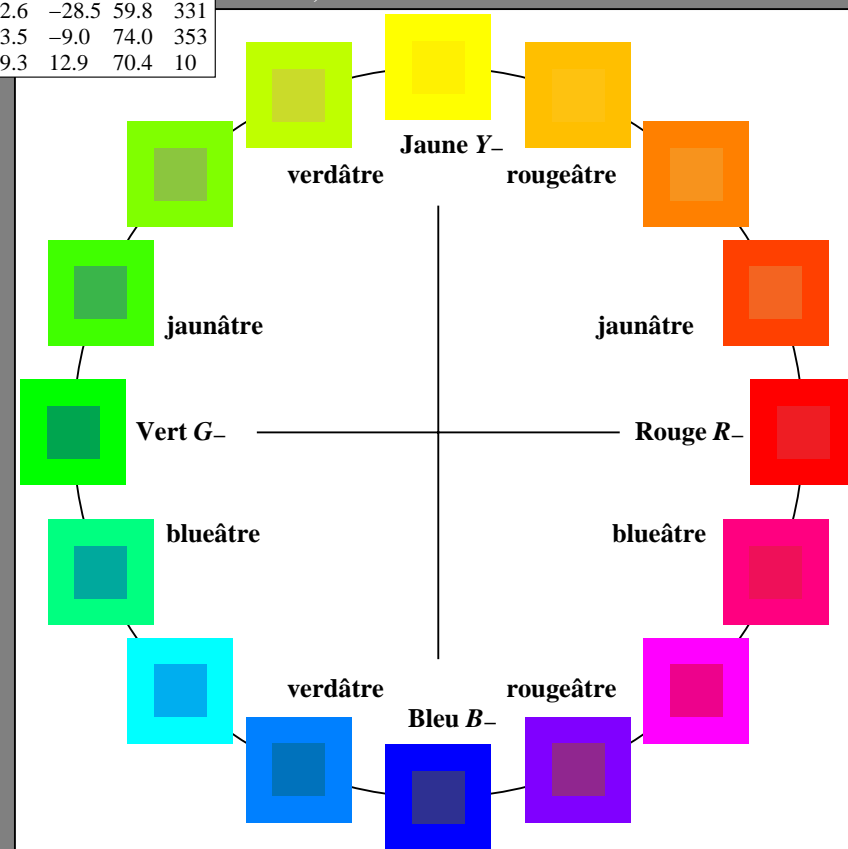
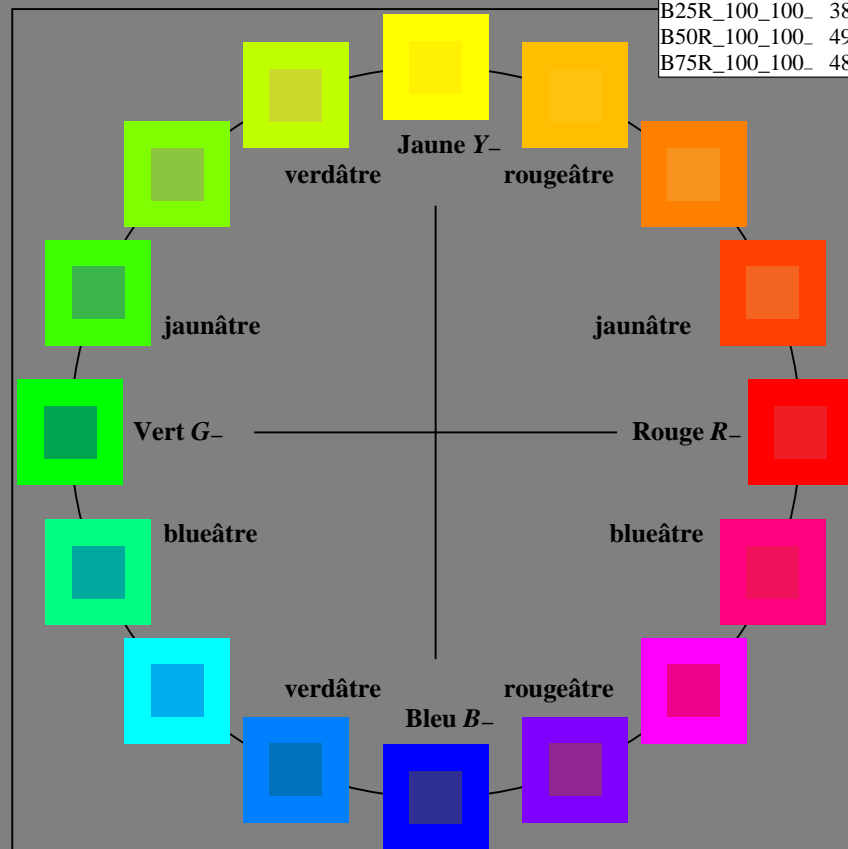
%Régularité

$g^*_{H,rel} = 19$

$g^*_{C,rel} = 37$

sRGB (TLS00a); données CIELAB (a) adaptées

nom	$L^*=L^*_a a^*_a$	b^*_a	$C^*_{ab,a}$	$h^*_{ab,a}$
R_.,Ma	50.5	76.9	64.5	100.4
Y_.,Ma	92.6	-20.7	90.7	93.0
G_.,Ma	83.6	-82.7	79.9	115.0
C_.,Ma	86.8	-46.1	-13.5	48.1
B_.,Ma	30.3	76.0	-103.6	128.5
M_.,Ma	57.3	94.3	-58.4	110.9
N_.,Ma	0.0	0.0	0.0	0.0
W_.,Ma	95.4	0.0	0.0	0.0
R_.,CIE	39.9	58.7	27.9	65.0
Y_.,CIE	81.2	-2.8	71.5	71.6
G_.,CIE	52.2	-42.4	13.6	44.5
B_.,CIE	30.5	1.4	-46.4	46.4



RF880-7N_RGB 3-003034-L0

graphique TUB-RF88; cercle de teinte, 16 étapes, $cf=1$
graphique conforme à DIN 33872

entrée : $rgb/cmyk \rightarrow rgb/cmyk$
sortie : aucun changement

Entrée et sortie: Système Télévision Lumicie sRGB (TLS00a)

Données de couleurs périphériques (d)
ou élémentaires (e):

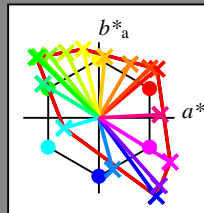
HIC^*_d

code de teinte pour les cou-
leurs de cette page:

$H^*_d = R00Y_d, R25Y_d, \dots, B75R_d$

sRGB (TLS00a); données CIELAB (a) adaptées

H^*_d	$L^*=L^*_a$	a^*_a	b^*_a	$C^*_{ab,a}$	$h^*_{ab,a}$
R00Y_100_100_d	50.4	76.9	64.5	100.4	40
R25Y_100_100_d	53.7	67.6	65.8	94.4	44
R50Y_100_100_d	63.6	41.3	71.0	82.2	59
R75Y_100_100_d	78.2	7.8	80.6	81.0	84
Y00G_100_100_d	92.6	-20.7	90.7	93.0	102
Y25G_100_100_d	88.7	-43.3	86.2	96.5	116
Y50G_100_100_d	85.7	-65.2	82.4	105.1	128
Y75G_100_100_d	84.0	-78.7	80.4	112.5	134
G00B_100_100_d	83.6	-82.7	79.8	115.0	136
G25B_100_100_d	84.3	-73.7	44.9	86.4	148
G50B_100_100_d	86.8	-46.1	-13.5	48.1	196
G75B_100_100_d	51.7	18.3	-68.3	70.7	285
B00R_100_100_d	30.3	76.0	-103.5	128.5	306
B25R_100_100_d	38.5	79.8	-89.7	120.0	311
B50R_100_100_d	57.2	94.3	-58.4	110.9	328
B75R_100_100_d	52.0	81.1	4.1	81.2	2



%Gamme

$u^*_{rel} = 158$

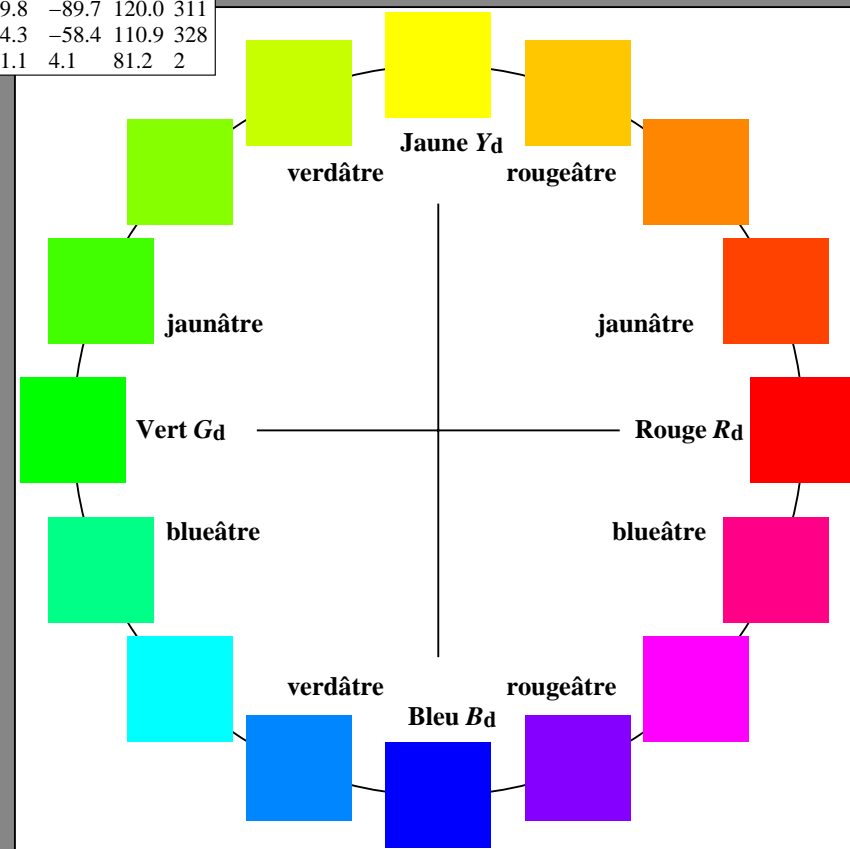
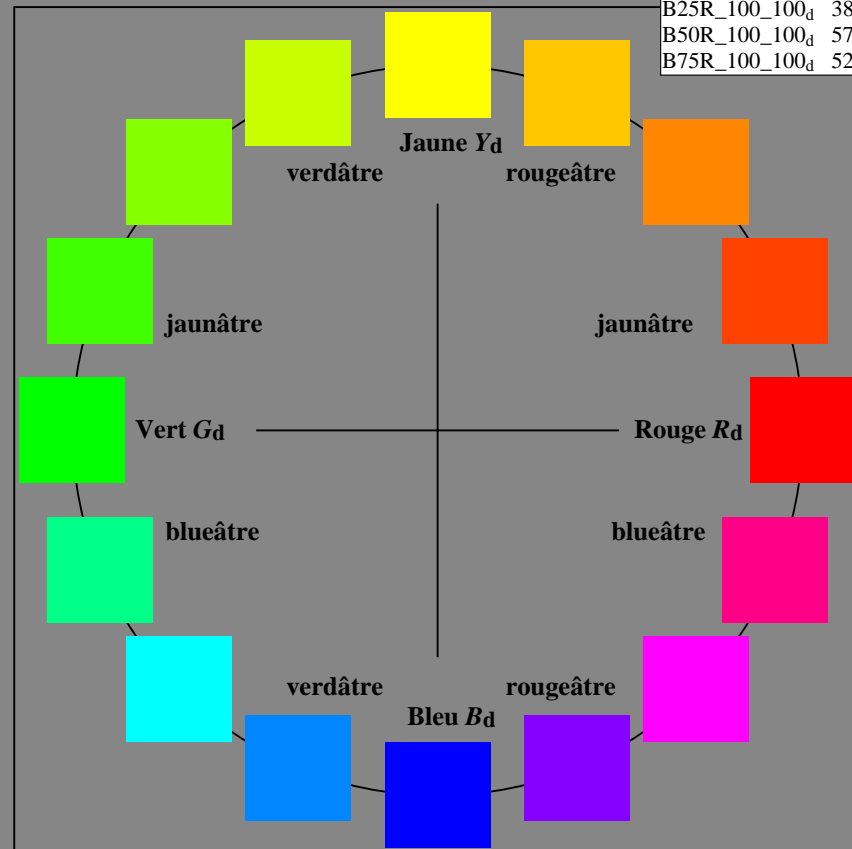
%Régularité

$g^*_{H,rel} = 19$

$g^*_{C,rel} = 37$

sRGB (TLS00a); données CIELAB (a) adaptées

nom	$L^*=L^*_a$	a^*_a	b^*_a	$C^*_{ab,a}$	$h^*_{ab,a}$
R _{d, Ma}	50.4	76.9	64.5	100.4	40
Y _{d, Ma}	92.6	-20.7	90.7	93.0	102
G _{d, Ma}	83.6	-82.7	79.8	115.0	136
C _{d, Ma}	86.8	-46.1	-13.5	48.1	196
B _{d, Ma}	30.3	76.0	-103.5	128.5	306
M _{d, Ma}	57.2	94.3	-58.4	110.9	328
N _{d, Ma}	0.0	0.0	0.0	0.0	0
W _{d, Ma}	95.4	0.0	0.0	0.0	0
R _{d, CIE}	39.9	58.7	27.9	65.0	25
Y _{d, CIE}	81.2	-2.8	71.5	71.6	92
G _{d, CIE}	52.2	-42.4	13.6	44.5	162
B _{d, CIE}	30.5	1.4	-46.4	46.4	271



graphique TUB-RF88; cercle de teinte, 16 étapes, $cf=1$
graphique conforme à DIN 33872, 3D=0, de=0, rgb

entrée : $rgb/cmyk \rightarrow rgb_d$
sortie : transférer à rgb_d

Entrée et sortie: Système Télévision Lumicie sRGB (TLS00a)

Données de couleurs périphériques (d)
ou élémentaires (e):

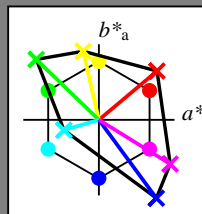
HIC^*

code de teinte pour les cou-
leurs de cette page:

$H^*_ = R00Y_ , R25Y_ , ..., B75R_$

ORS20a; données CIELAB (a) adaptées

$H^*_$	$L^*=L^*_a a^*_a$	b^*_a	$C^*_{ab,a}$	$h^*_{ab,a}$
R00Y_100_100_	48.4	66.1	40.2	77.3
R25Y_100_100_	56.8	48.0	50.5	69.6
R50Y_100_100_	68.6	25.0	63.9	68.6
R75Y_100_100_	80.6	4.8	77.2	77.3
Y00G_100_100_	90.2	-9.6	88.2	88.7
Y25G_100_100_	83.2	-18.4	79.9	81.9
Y50G_100_100_	73.3	-31.7	62.7	70.2
Y75G_100_100_	62.0	-49.7	43.2	65.8
G00B_100_100_	55.8	-65.2	33.8	73.4
G25B_100_100_	59.3	-50.3	-9.0	51.0
G50B_100_100_	63.0	-30.5	-42.0	51.9
G75B_100_100_	45.7	-5.7	-44.6	44.9
B00R_100_100_	27.5	25.9	-47.3	53.9
B25R_100_100_	38.3	52.6	-28.5	59.8
B50R_100_100_	49.5	73.5	-9.0	74.0
B75R_100_100_	48.9	69.3	12.9	70.4



%Gamme

$u^*_{rel} = 158$

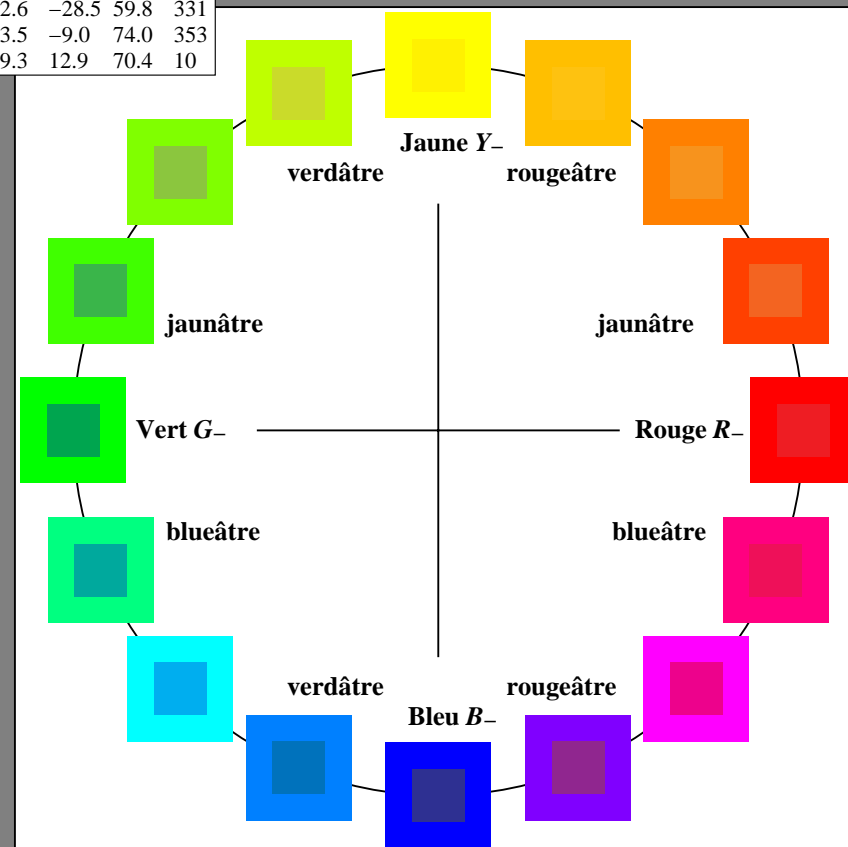
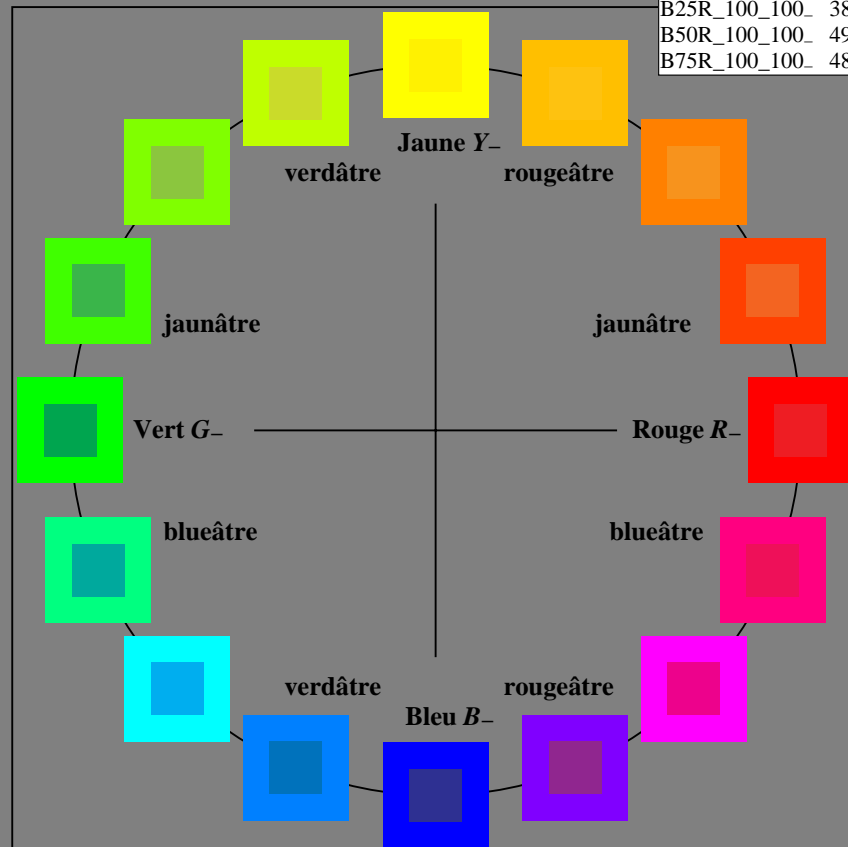
%Régularité

$g^*_{H,rel} = 19$

$g^*_{C,rel} = 37$

sRGB (TLS00a); données CIELAB (a) adaptées

nom	$L^*=L^*_a a^*_a$	b^*_a	$C^*_{ab,a}$	$h^*_{ab,a}$
R_.,Ma	50.5	76.9	64.5	100.4
Y_.,Ma	92.6	-20.7	90.7	93.0
G_.,Ma	83.6	-82.7	79.9	115.0
C_.,Ma	86.8	-46.1	-13.5	48.1
B_.,Ma	30.3	76.0	-103.6	128.5
M_.,Ma	57.3	94.3	-58.4	110.9
N_.,Ma	0.0	0.0	0.0	0.0
W_.,Ma	95.4	0.0	0.0	0.0
R_.,CIE	39.9	58.7	27.9	65.0
Y_.,CIE	81.2	-2.8	71.5	71.6
G_.,CIE	52.2	-42.4	13.6	44.5
B_.,CIE	30.5	1.4	-46.4	46.4



RF880-7N_RGB 3-013034-L0

graphique TUB-RF88; cercle de teinte, 16 étapes, $cf=1$
graphique conforme à DIN 33872

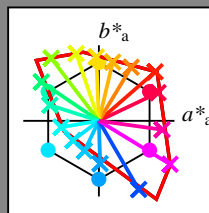
entrée : $rgb/cmyk \rightarrow rgb/cmyk$
sortie : aucun changement

Entrée et sortie: Système Télévision Lumicie sRGB (TLS00a)

Données de couleurs périphériques (d)
ou élémentaires (e): HIC_e^* code de teinte pour les cou-
leurs de cette page: $H_e^* = R00Y_e, R25Y_e, \dots, B75R_e$

sRGB (TLS00a); données CIELAB (a) adaptées

H_e^*	$L^*=L_a^*$	a_a^*	b_a^*	$C_{ab,a}^*$	$h_{ab,a}^*$
R00Y_100_100_e	50.9	78.3	37.3	86.7	25
R25Y_100_100_e	51.3	74.4	64.8	98.7	41
R50Y_100_100_e	63.1	42.7	70.8	82.7	58
R75Y_100_100_e	73.5	18.3	77.7	79.8	76
Y00G_100_100_e	83.7	-3.4	84.5	84.5	92
Y25G_100_100_e	91.0	-29.9	88.9	93.8	108
Y50G_100_100_e	85.9	-63.0	82.8	104.1	127
Y75G_100_100_e	84.1	-76.0	51.4	91.8	145
G00B_100_100_e	85.1	-64.6	20.7	67.9	162
G25B_100_100_e	86.5	-49.9	-8.4	50.6	189
G50B_100_100_e	79.0	-34.2	-25.7	42.8	216
G75B_100_100_e	70.0	-19.0	-39.6	43.9	244
B00R_100_100_e	59.2	1.7	-56.6	56.6	271
B25R_100_100_e	38.2	52.7	-90.7	104.9	300
B50R_100_100_e	57.1	94.1	-57.4	110.3	328
B75R_100_100_e	52.9	83.6	-11.6	84.4	352



%Gamme

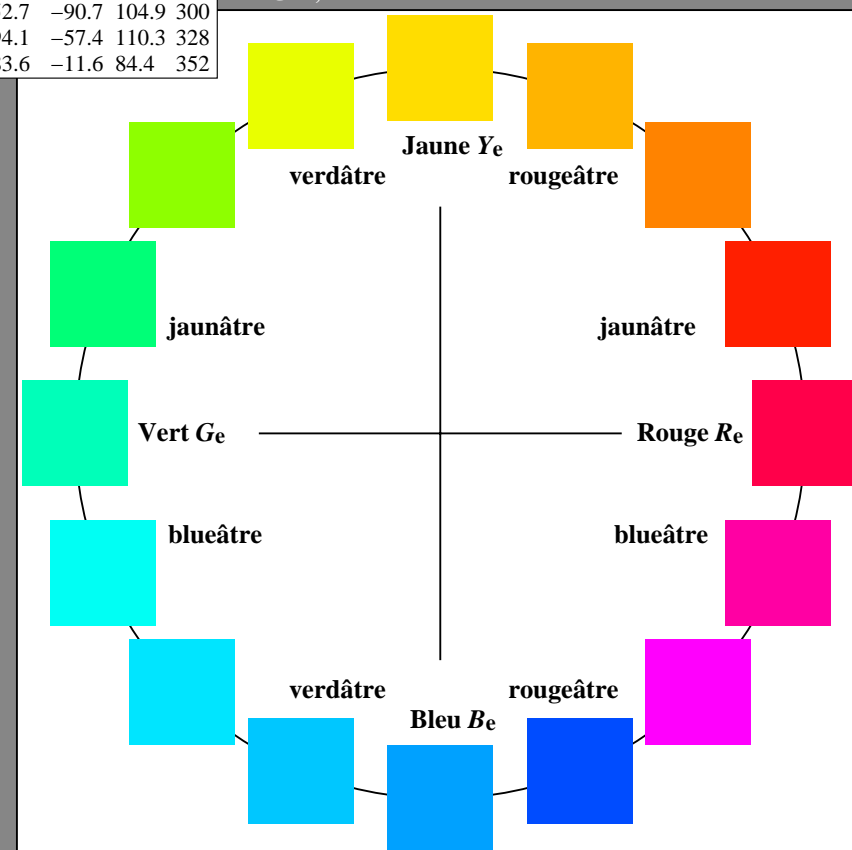
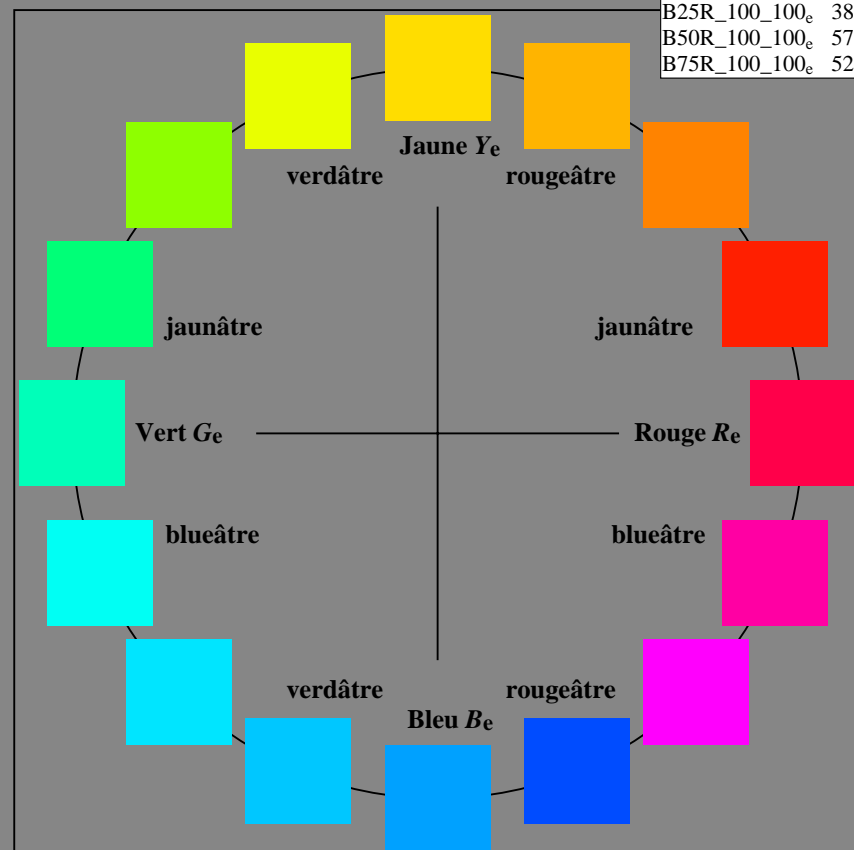
 $u_{rel}^* = 158$

%Régularité

 $g_{H,rel}^* = 19$ $g_{C,rel}^* = 37$

sRGB (TLS00a); données CIELAB (a) adaptées

nom	$L^*=L_a^*$	a_a^*	b_a^*	$C_{ab,a}^*$	$h_{ab,a}^*$
R _e ,Ma	50.9	78.3	37.3	86.7	25
Y _e ,Ma	83.7	-3.4	84.5	84.5	92
G _e ,Ma	85.1	-64.6	20.7	67.9	162
C _e ,Ma	79.0	-34.2	-25.7	42.8	216
B _e ,Ma	59.2	1.7	-56.6	56.6	271
M _e ,Ma	57.1	94.1	-57.4	110.3	328
N _e ,Ma	0.0	0.0	0.0	0.0	0
W _e ,Ma	95.4	0.0	0.0	0.0	0
R _e ,CIE	39.9	58.7	27.9	65.0	25
Y _e ,CIE	81.2	-2.8	71.5	71.6	92
G _e ,CIE	52.2	-42.4	13.6	44.5	162
B _e ,CIE	30.5	1.4	-46.4	46.4	271



RF880-71

3-013134-L0

graphique TUB-RF88; cercle de teinte, 16 étapes, $cf=1$
graphique conforme à DIN 33872, 3D=0, $de=1$, rgb entrée : $rgb/cmyk \rightarrow rgb_e$
sortie : transférer à rgb_e

3-013134-F0